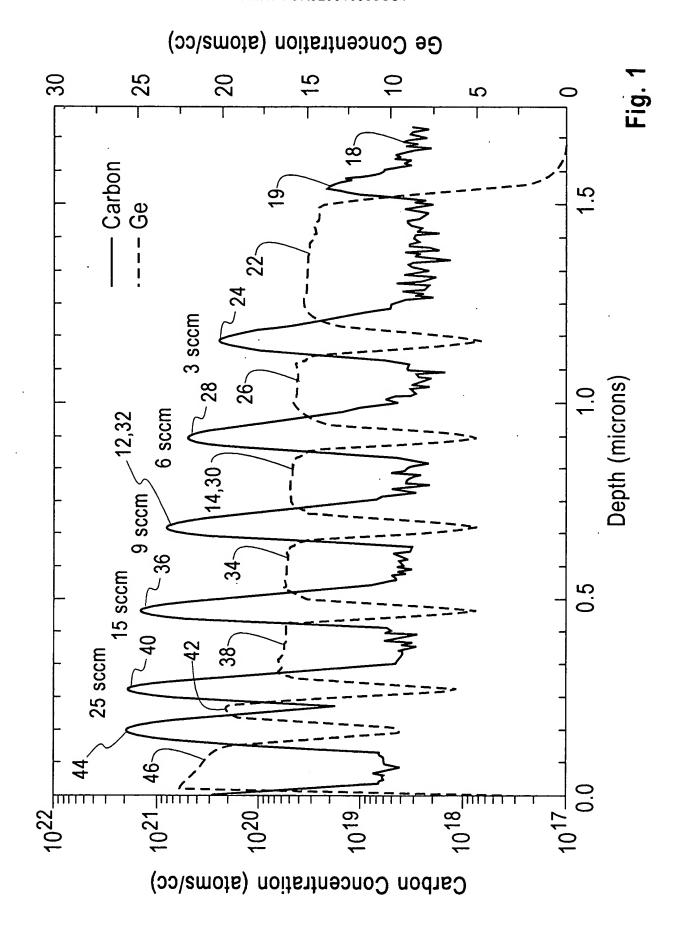
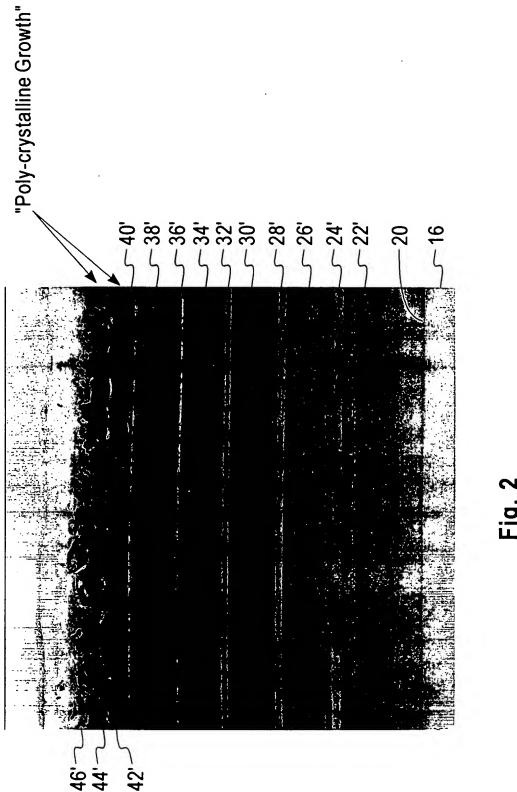
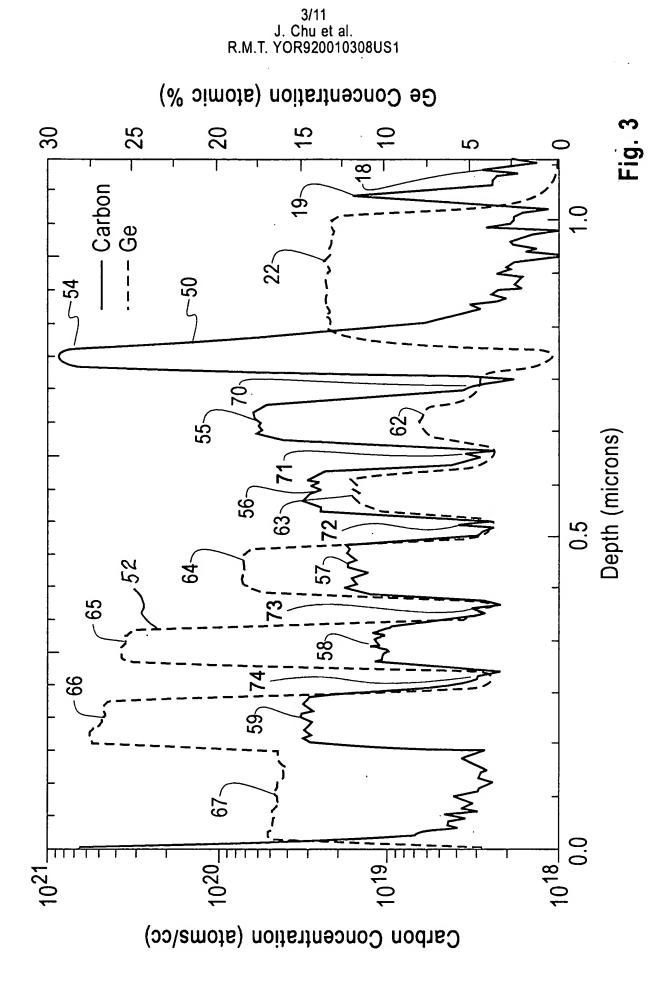
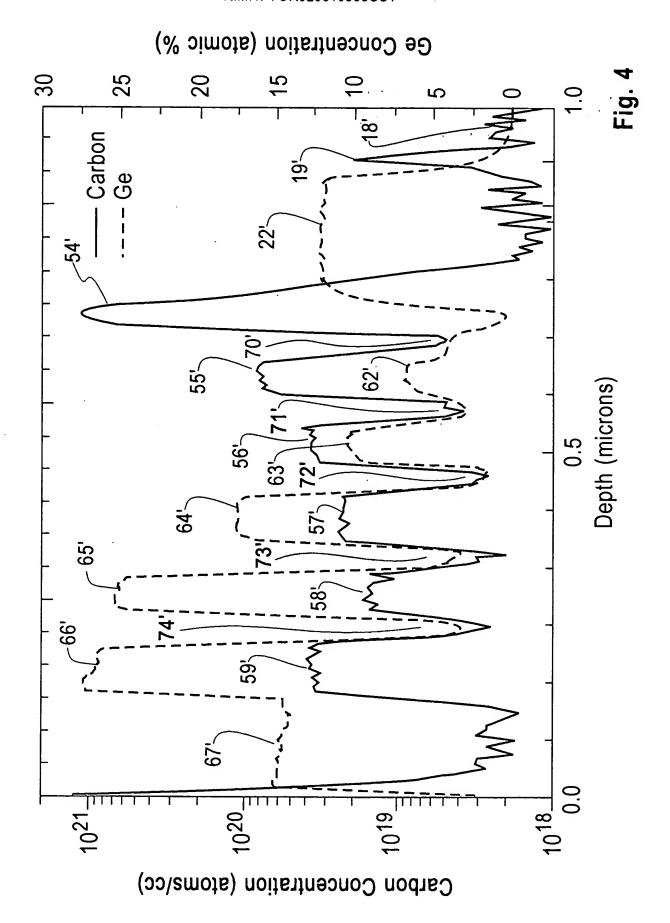
1/11 J. Chu et al. R.M.T. YOR920010308US1







4/11 J. Chu et al. R.M.T. YOR920010308US1



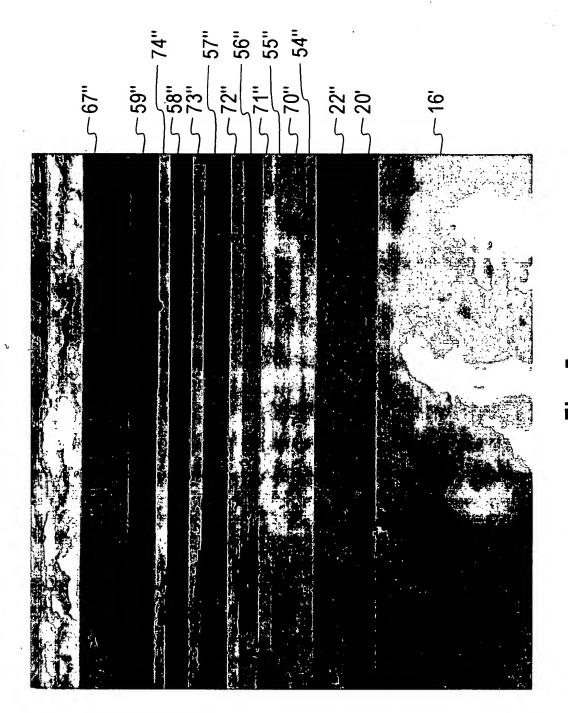
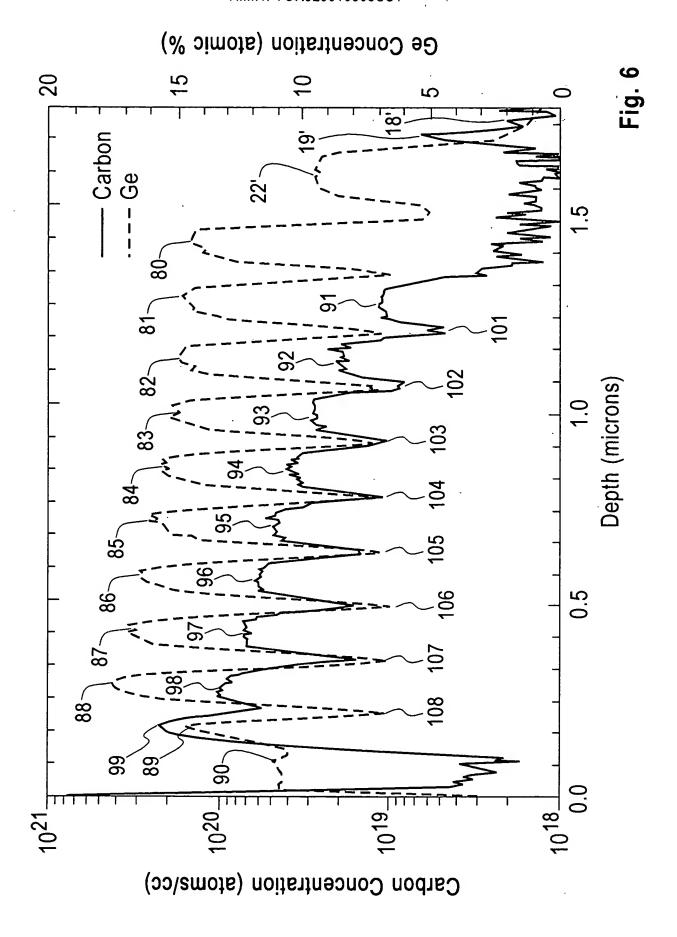
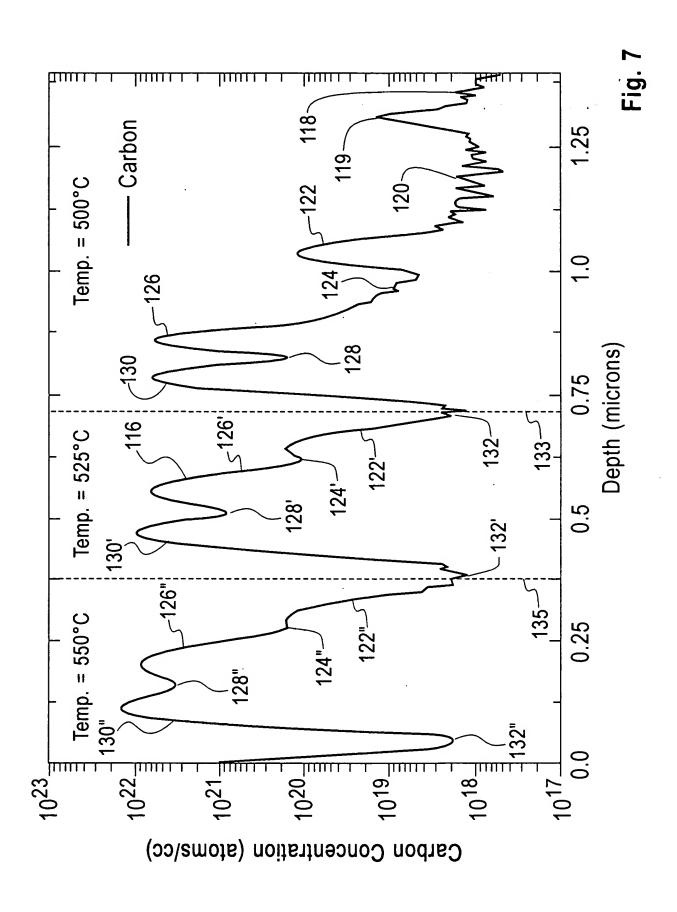


Fig. 5

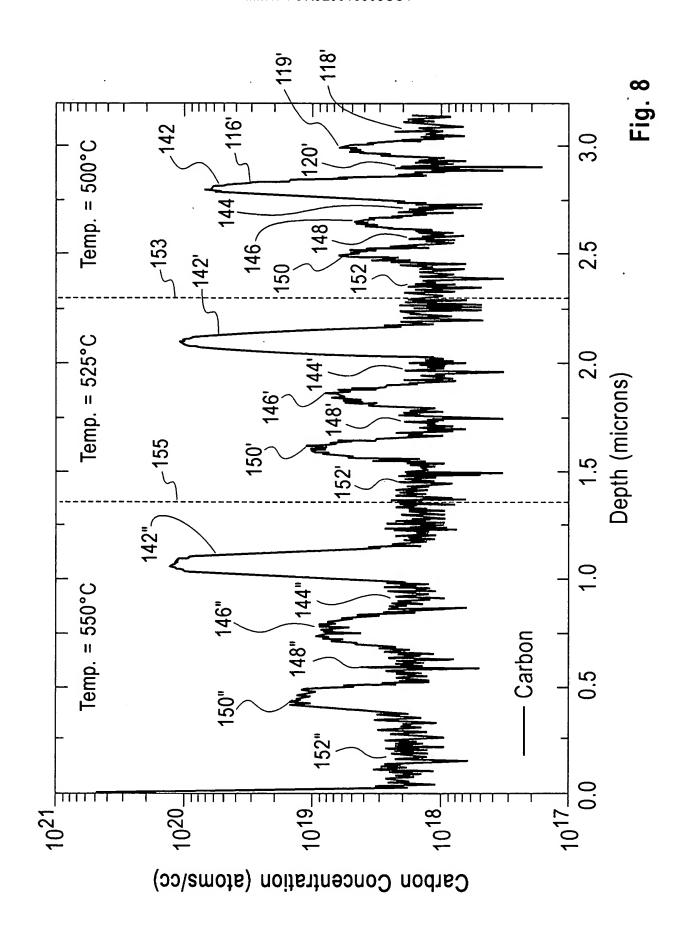
6/11 J. Chu et al. R.M.T. YOR920010308US1

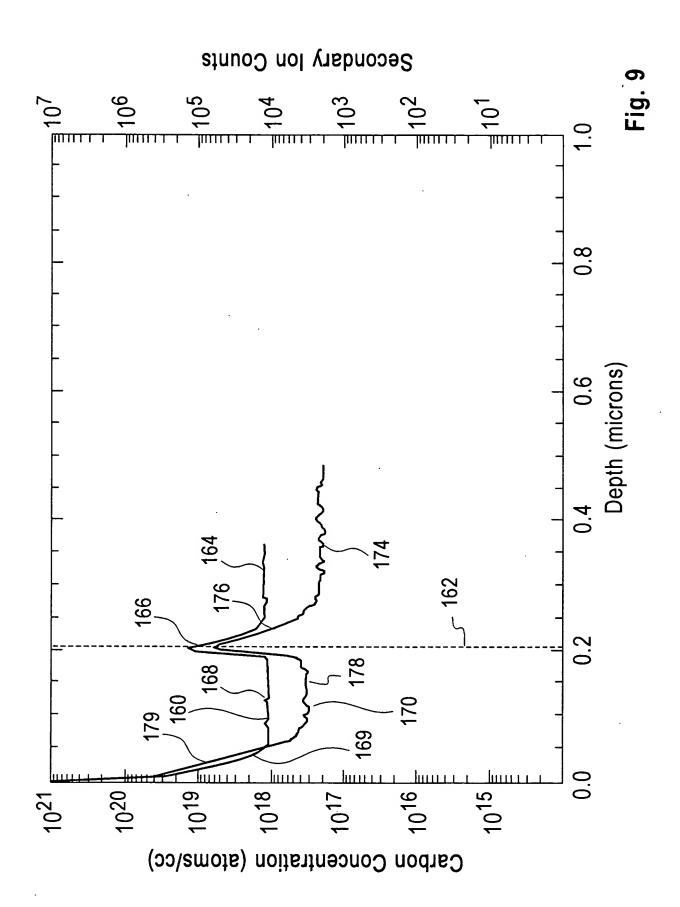


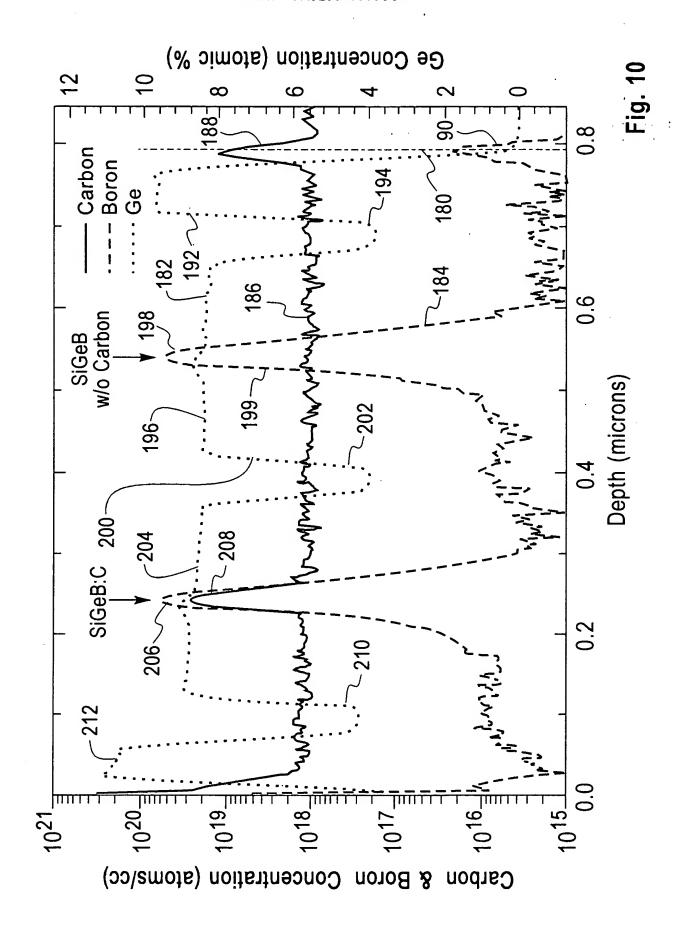
7/11 J. Chu et al. R.M.T. YOR920010308US1



8/11 J. Chu et al. R.M.T. YOR920010308US1







10/11 J. Chu et al. R.M.T. YOR920010308US1

11/11 J. Chu et al. R.M.T. YOR920010308US1

